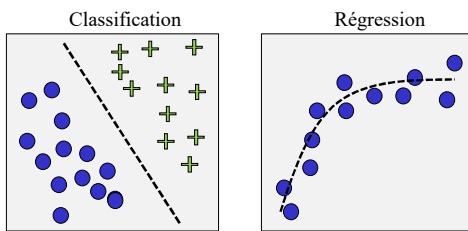


Réseaux de neurones
IFT 780

Modèles génératifs
Par
Pierre-Marc Jodoin

1

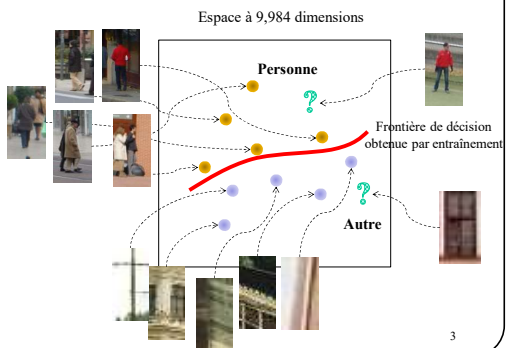
Jusqu'à présent : apprentissage supervisé



2

2

Inria person dataset



3

3

Apprentissage supervisé

Deux grandes familles d'applications

➤ **Classification** : la cible est un indice de classe $t \in \{1, \dots, K\}$

- Exemple : reconnaissance de caractères
 - ✓ \vec{x} : vecteur des intensités de tous les pixels de l'image
 - ✓ t : identité du caractère

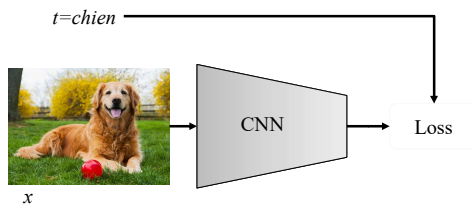
➤ **Régression** : la cible est un nombre réel $t \in \mathbb{R}$

- Exemple : prédiction de la valeur d'une action à la bourse
 - ✓ \vec{x} : vecteur contenant l'information sur l'activité économique de la journée
 - ✓ t : valeur d'une action à la bourse le lendemain

4

4

Apprentissage supervisé avec CNN



5

Supervisé vs non supervisé

Apprentissage supervisé : il y a une cible

$$D = \{(\vec{x}_1, t_1), (\vec{x}_2, t_2), \dots, (\vec{x}_N, t_N)\}$$

Apprentissage non-supervisé : la cible n'est pas fournie

$$D = \{\vec{x}_1, \vec{x}_2, \dots, \vec{x}_N\}$$

6

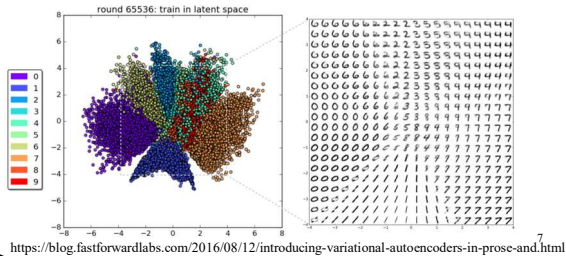
6

Apprentissage non supervisé

Comprendre la distribution sous-jacente de données **non-étiquetées**

Applications : clustering, visualization, comprehension, etc.

Exemple : visualization de la distribution des images MNIST



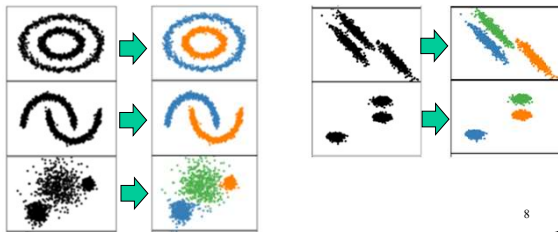
7

Apprentissage non supervisé

Souvent, l'apprentissage non-supervisé inclut un (ou des) **variables latentes**.

Variable latente: variable aléatoire non observée mais sous-jacente à la distribution des données

Ex: clustering = retrouver la variable latente "cluster"



8

Pourquoi une variable latente?

Plus facile de représenter $p(\vec{x}, y)$, $p(\vec{x} | y)$, $p(y)$ que $p(\vec{x})$

Plus d'info au tableau.

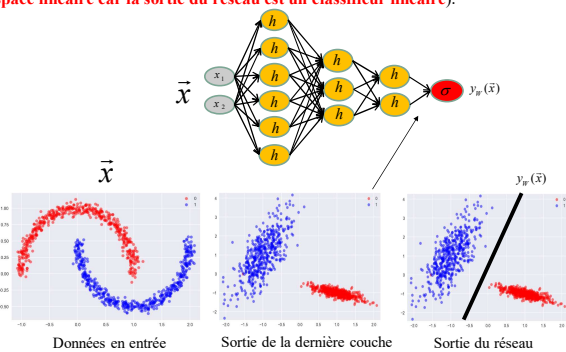
9

L'apprentissage non-supervisé par
réseaux de neurones
s'appuie sur
2 propriétés

10

Propriété 1

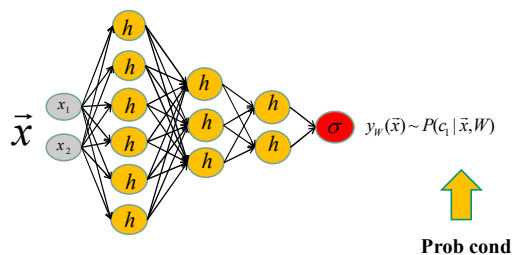
Les réseaux de neurones sont d'excellentes machines pour projeter des données brutes vers un **espace dimensionnel plus faible** dont les propriétés dépendent de la *loss* (ici **espace linéaire car la sortie du réseau est un classifieur linéaire**).



11

Propriété 2

Les réseaux de neurones sont d'excellentes machines pour estimer des **probabilités conditionnelles**.



12

Propriété 2

Les réseaux de neurones sont d'excellentes machines pour estimer des **probabilités conditionnelles**.

$$y_{W_0}(\vec{x}) = \frac{e^{\tilde{W}_0^T \vec{x}}}{\sum_{j=0}^2 e^{\tilde{W}_j^T \vec{x}}} \Rightarrow P(c_0 | W, \vec{x})$$

$$y_{W_1}(\vec{x}) = \frac{e^{\tilde{W}_1^T \vec{x}}}{\sum_{j=0}^2 e^{\tilde{W}_j^T \vec{x}}} \Rightarrow P(c_1 | W, \vec{x})$$

$$y_{W_2}(\vec{x}) = \frac{e^{\tilde{W}_2^T \vec{x}}}{\sum_{j=0}^2 e^{\tilde{W}_j^T \vec{x}}} \Rightarrow P(c_2 | W, \vec{x})$$

Softmax
Prob cond

13

$\vec{x} = \begin{bmatrix} -15 \\ 22 \\ -44 \\ 56 \end{bmatrix}, t = 2$

Rappel

0.0	0.01	-0.05	0.1	0.05	-15	-2.85	0.06	0.02	$-\ln(0.35) = 0.452$
0.2	0.7	0.2	0.05	0.16	22	0.86	2.36	0.63	
-0.3	0.0	-0.45	-0.2	0.03	-44	0.28	1.32	0.35	
W					56				

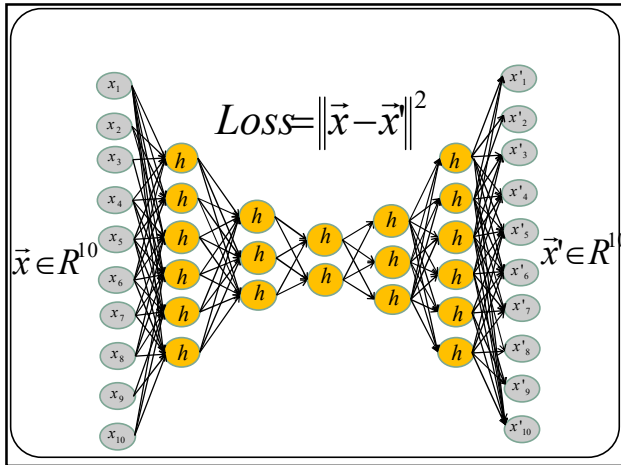
\vec{x}

$P(c | W, \vec{x})$

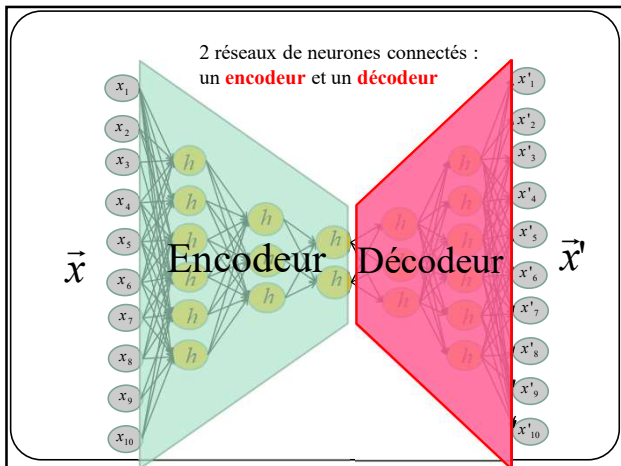
14

Comment utiliser un réseau de neurones pour apprendre la **configuration sous-jacente** de données non étiquetées?

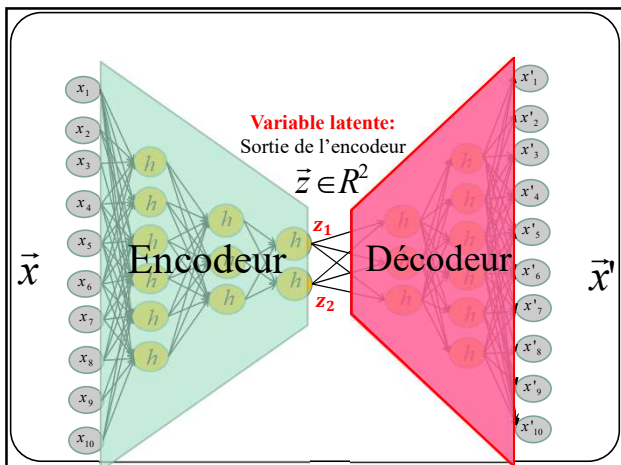
15



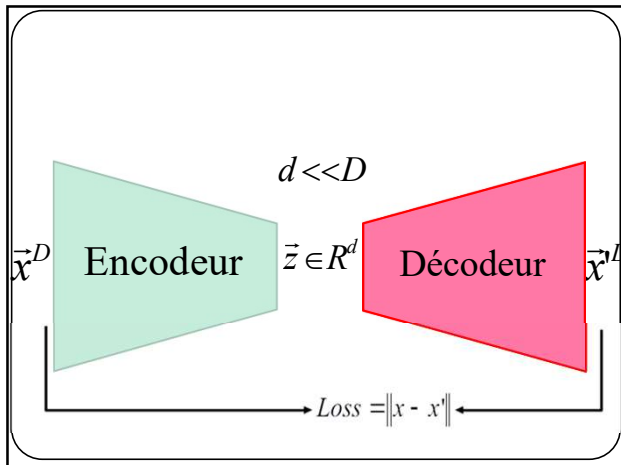
16



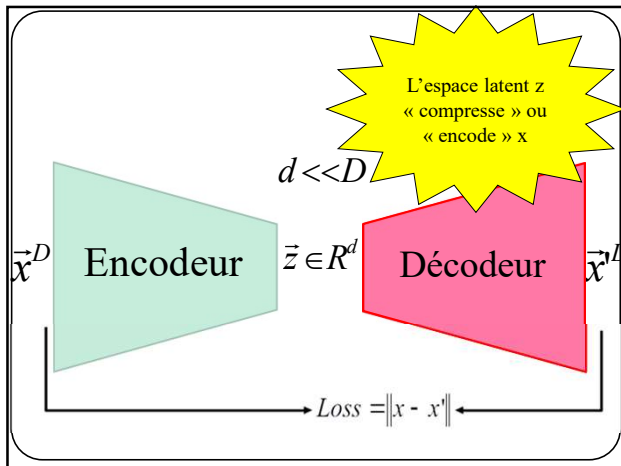
17



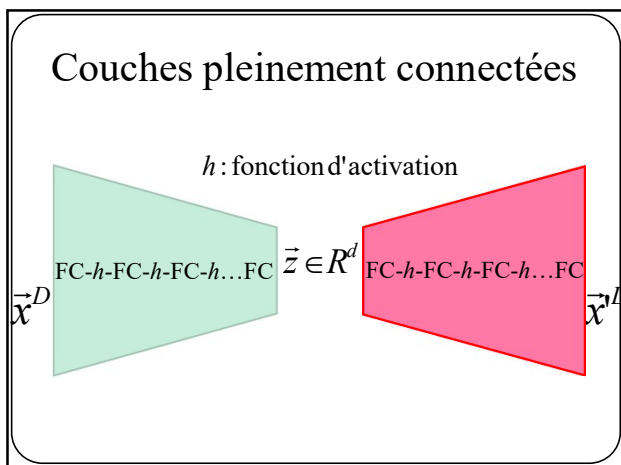
18



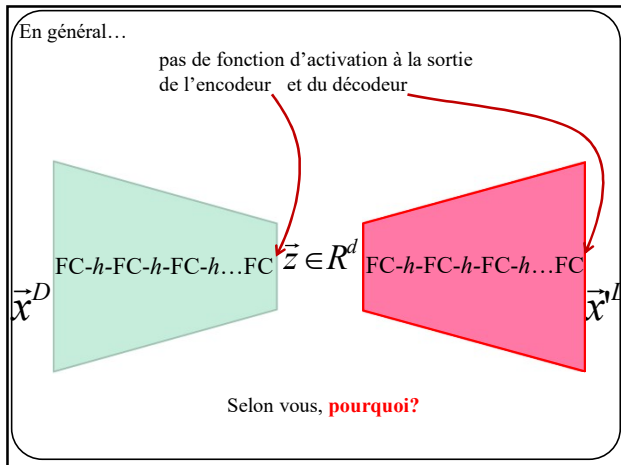
19



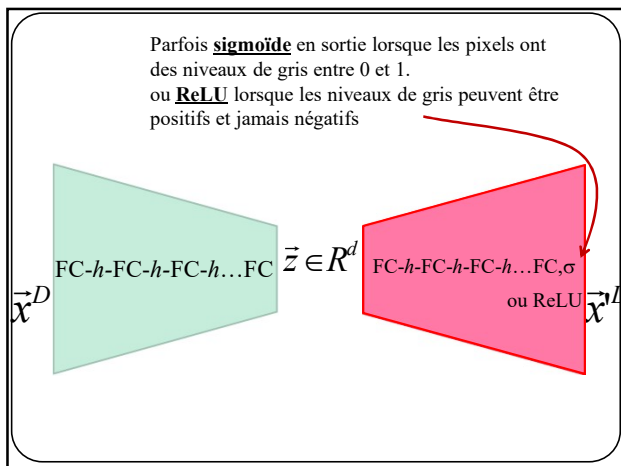
20



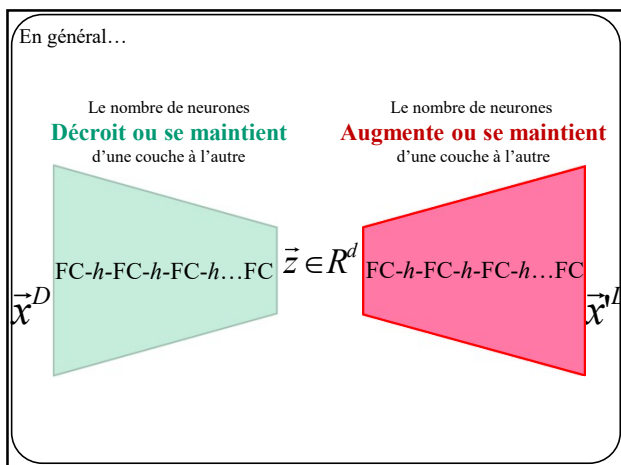
21



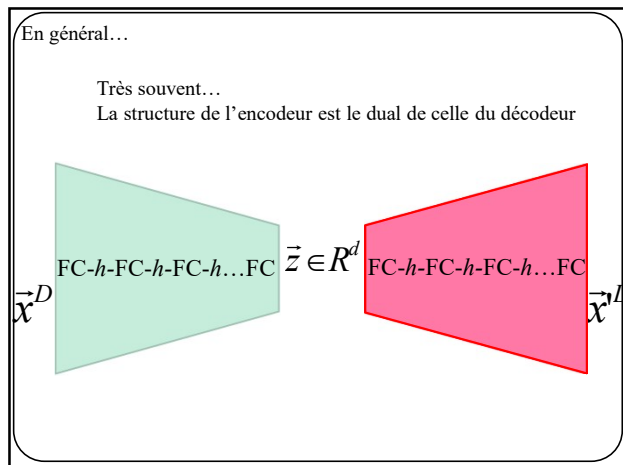
22



23



24



25

Autoencodeur jouet de MNIST

```
class autoencoder(nn.Module):
    def __init__(self):
        super(autoencoder, self).__init__()
        self.encoder = nn.Sequential(
            nn.Linear(28 * 28, 128), nn.ReLU(True),
            nn.Linear(128, 64), nn.ReLU(True),
            nn.Linear(64, 12), nn.ReLU(True),
            nn.Linear(12, 2))
        self.decoder = nn.Sequential(
            nn.Linear(2, 12), nn.ReLU(True),
            nn.Linear(12, 64), nn.ReLU(True),
            nn.Linear(64, 128), nn.ReLU(True),
            nn.Linear(128, 28 * 28))

    def forward(self, x):
        z = self.encoder(x)
        x_prime = self.decoder(z)
        return x_prime
```

Espace latent 2D

26

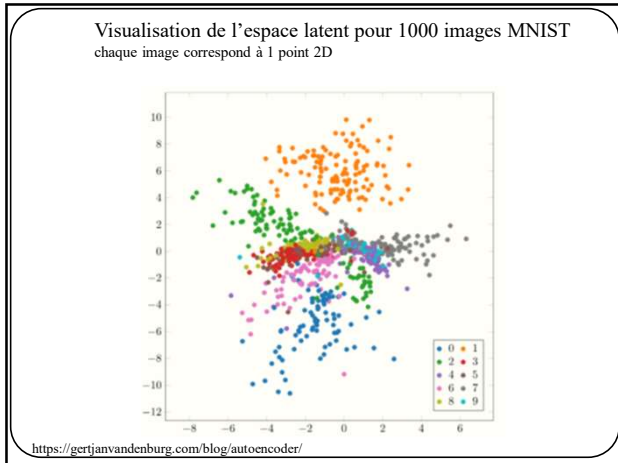
Autoencodeur jouet de MNIST

```
class autoencoder(nn.Module):
    def __init__(self):
        super(autoencoder, self).__init__()
        self.encoder = nn.Sequential(
            nn.Linear(28 * 28, 128), nn.ReLU(True),
            nn.Linear(128, 64), nn.ReLU(True),
            nn.Linear(64, 12), nn.ReLU(True),
            nn.Linear(12, 2))
        self.decoder = nn.Sequential(
            nn.Linear(2, 12), nn.ReLU(True),
            nn.Linear(12, 64), nn.ReLU(True),
            nn.Linear(64, 128), nn.ReLU(True),
            nn.Linear(128, 28 * 28))

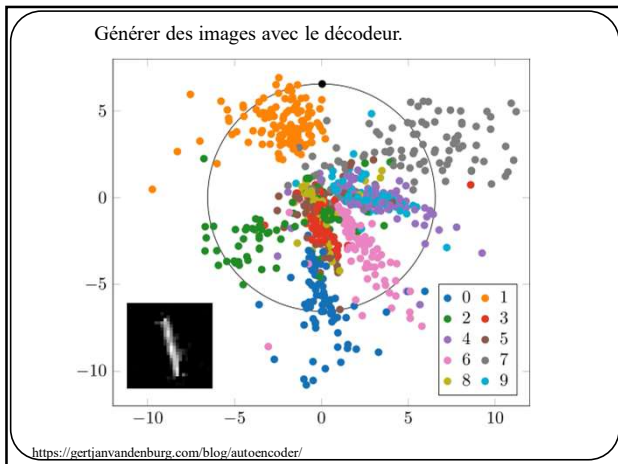
    def forward(self, x):
        z = self.encoder(x)
        x_prime = self.decoder(z)
        return x_prime
```

symétric

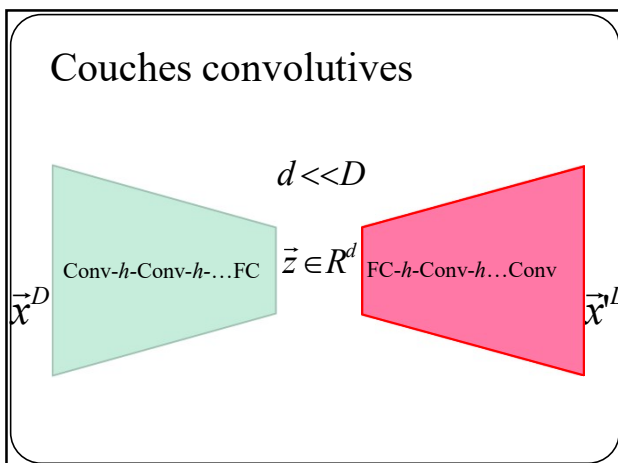
27



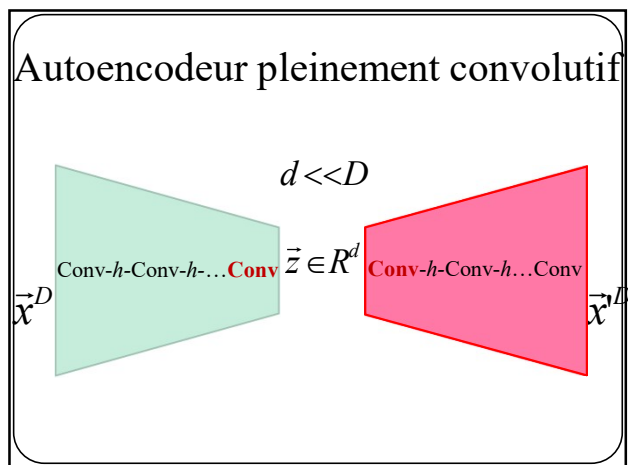
28



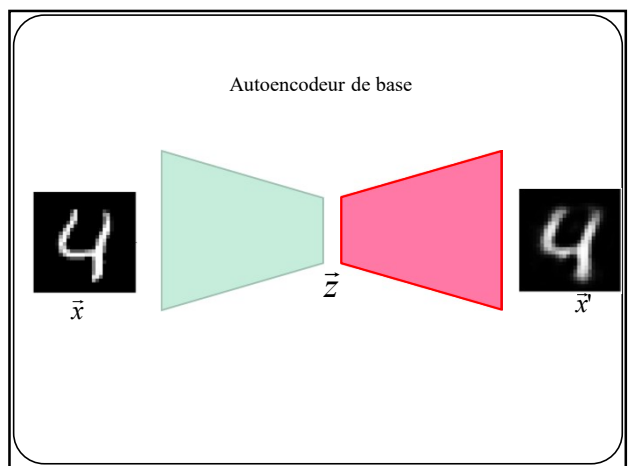
29



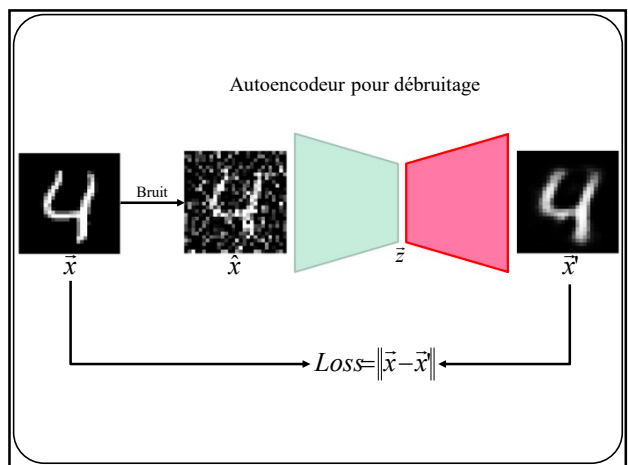
30



31

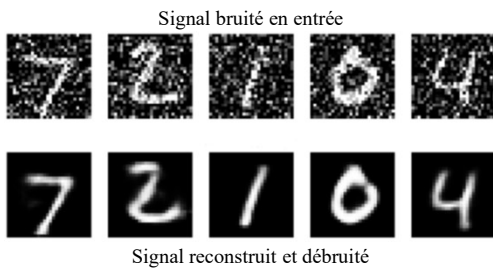


32

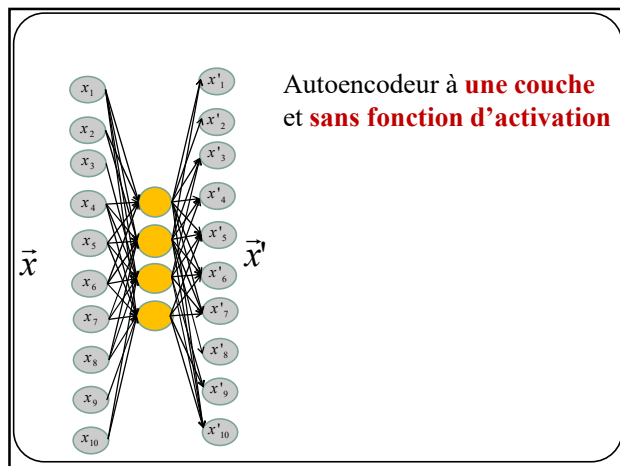


33

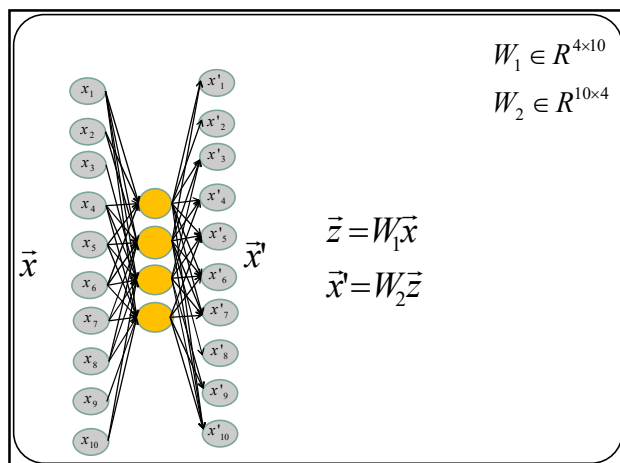
Une fois entraîné...



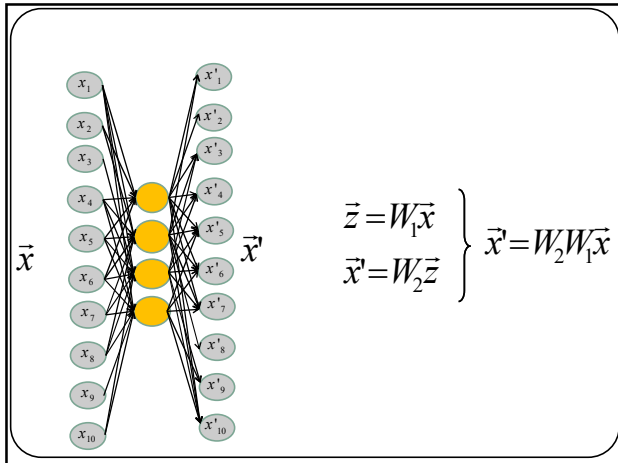
34



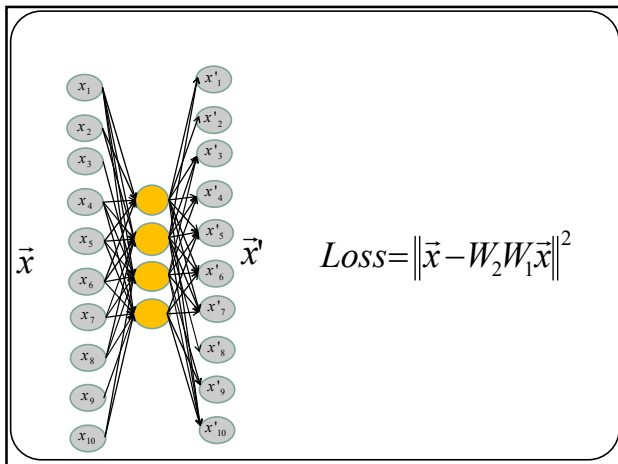
35



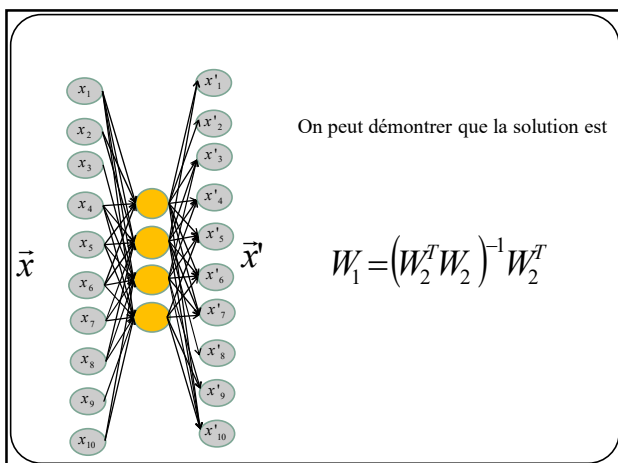
36



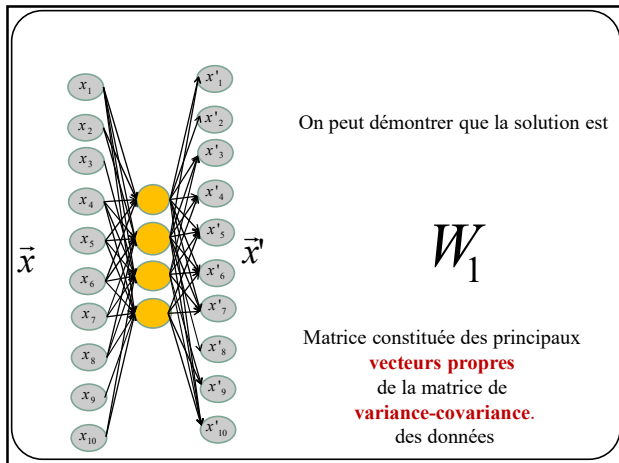
37



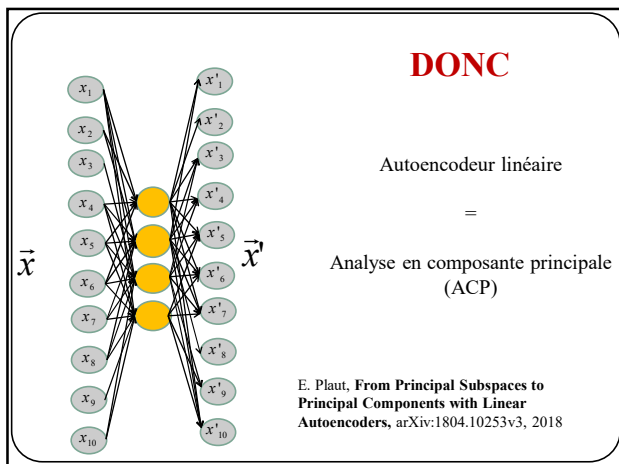
38



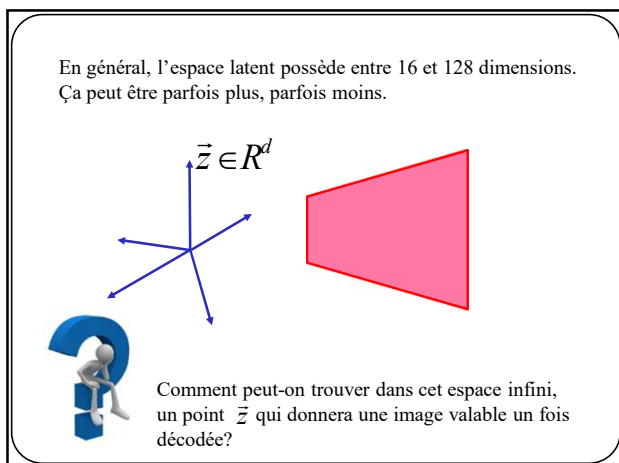
39



40

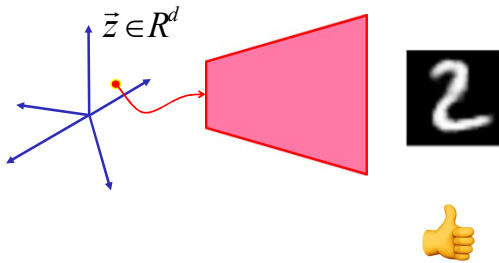


41



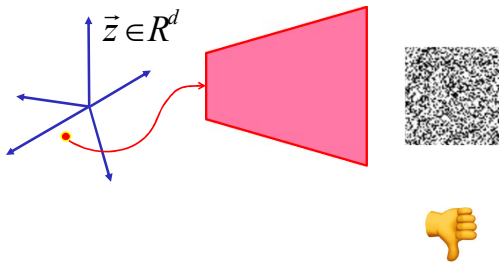
42

Avec de la chance, on peut sélectionner un point au hasard et reproduire une « bonne » image (ici une image « MNIST »)



43

Malheureusement, la vaste majorité du temps, on reproduit du bruit



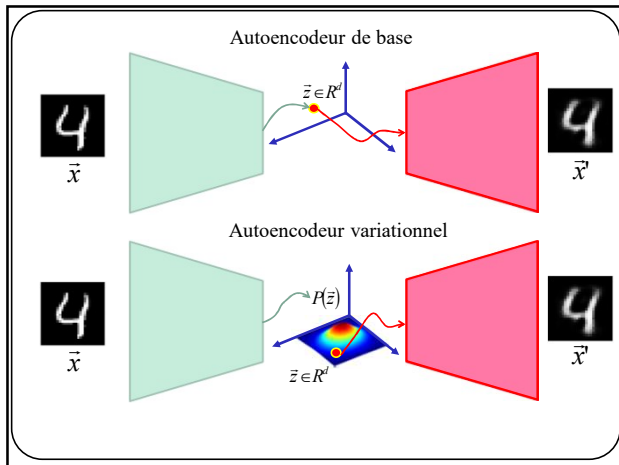
44

Au lieu d'apprendre à **reproduire un signal d'entrée...**

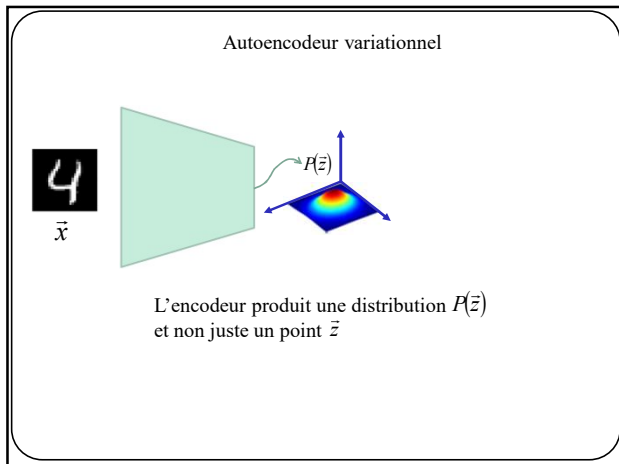


Apprendre à reproduire une **distribution** $p(\tilde{z})$ **connue** de sorte qu'un **point échantillonné et décodé** de cette distribution correspond à un signal reconstruit valable

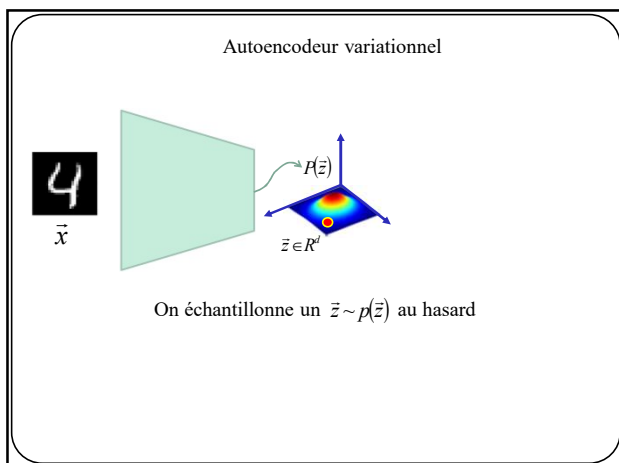
45



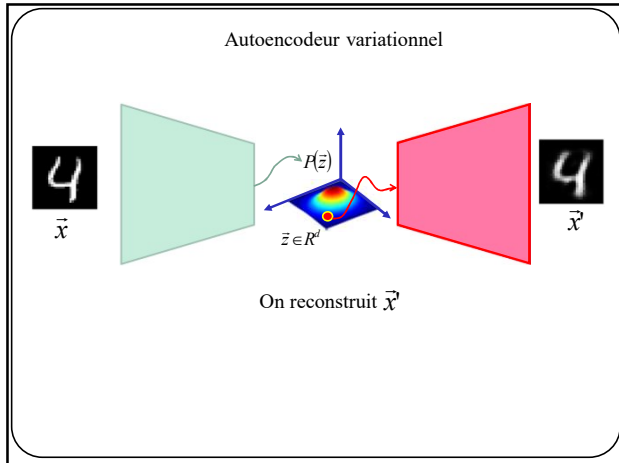
46



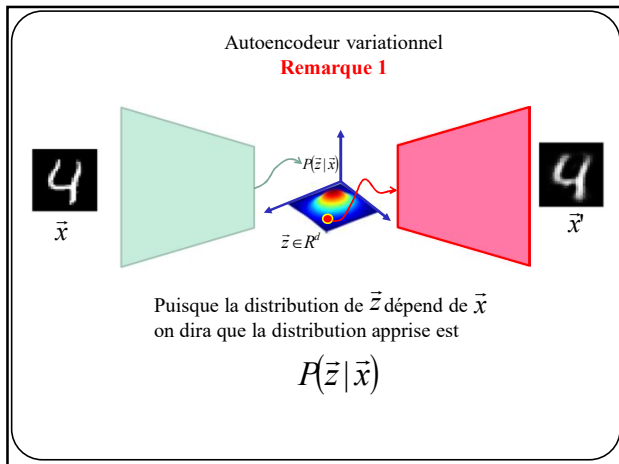
47



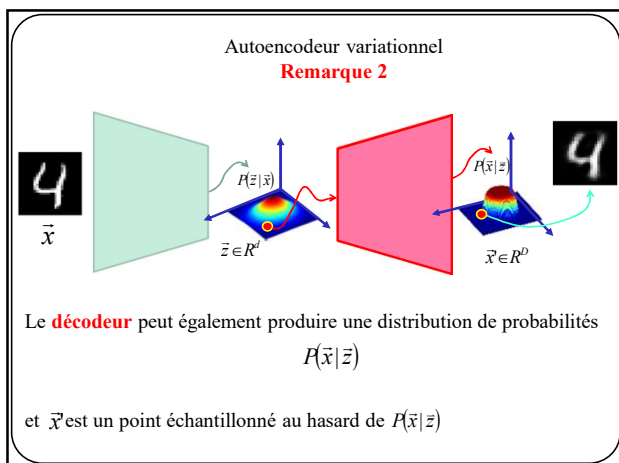
48



49



50



51

Autoencodeur variationnel
Remarque 3

La distribution $P(\bar{z}|\bar{x})$ peut être très complexe et difficile à échantillonner, on va donc l'approximer par une distribution plus simple... une **gaussienne**

$$Q(\bar{z}|\bar{x}) \approx P(\bar{z}|\bar{x})$$

52

$Q(\bar{z}|\bar{x}) \sim \text{Gaussienne}$

53

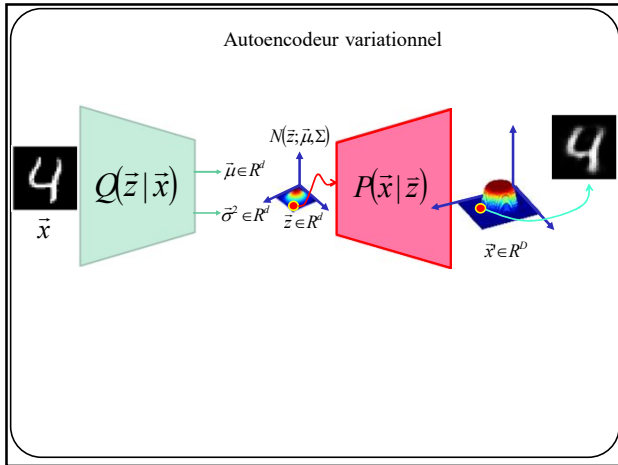
Autoencodeur variationnel
Remarque 4

Pour simplifier les calculs, on va supposer que Σ est diagonale

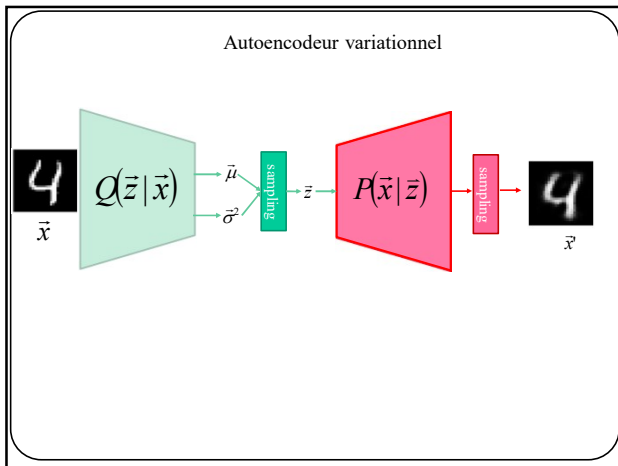
$$\Sigma = \begin{pmatrix} \sigma_1^2 & 0 & 0 & 0 & 0 \\ 0 & \sigma_2^2 & 0 & 0 & 0 \\ 0 & 0 & \sigma_3^2 & 0 & 0 \\ 0 & 0 & 0 & \ddots & 0 \\ 0 & 0 & 0 & 0 & \sigma_d^2 \end{pmatrix}$$

On va donc **prédire un vecteur de variances et non une matrice**

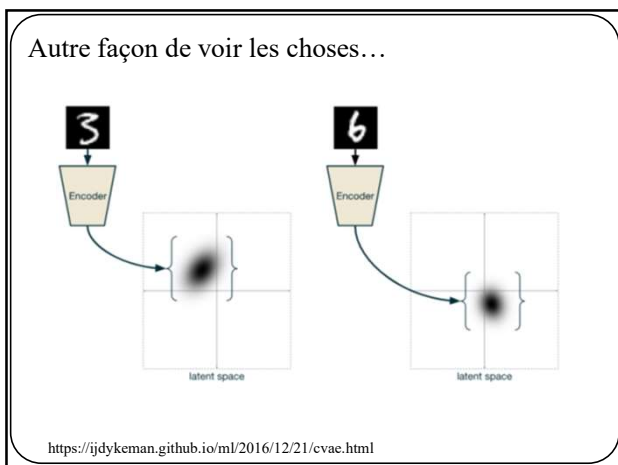
54



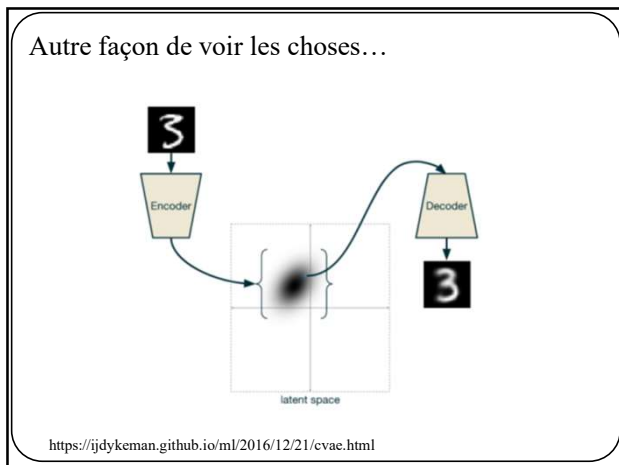
55



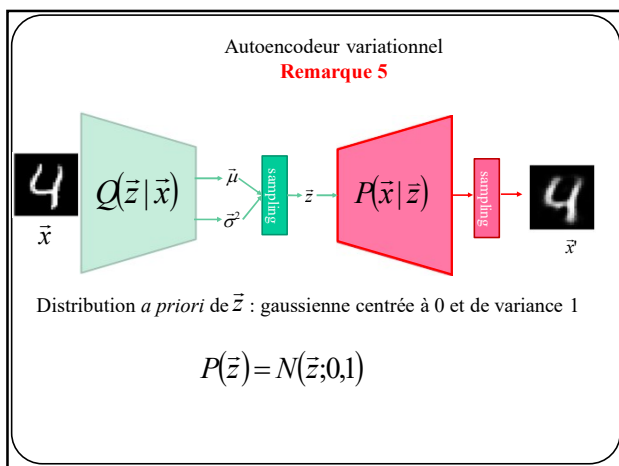
56



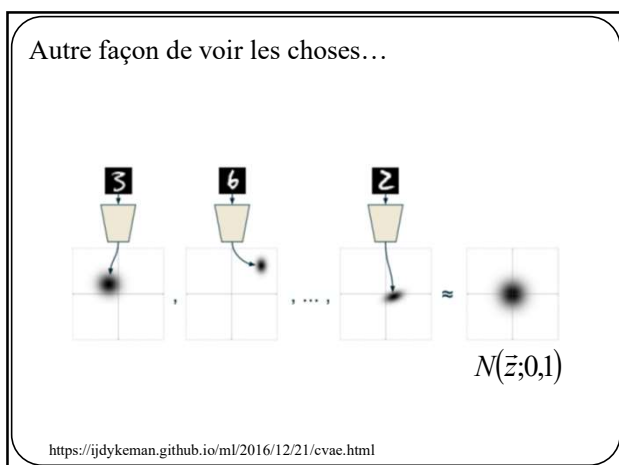
57



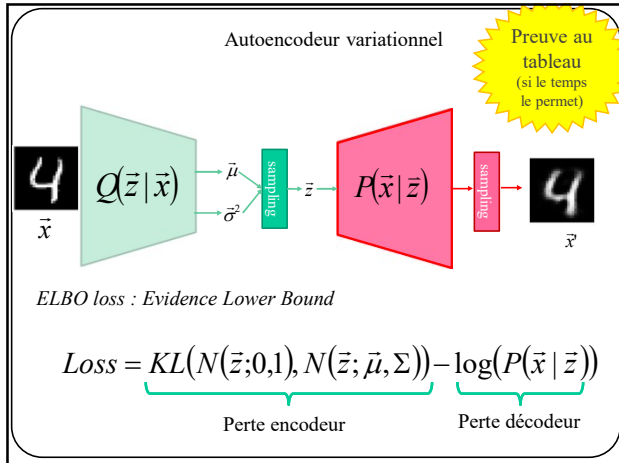
58



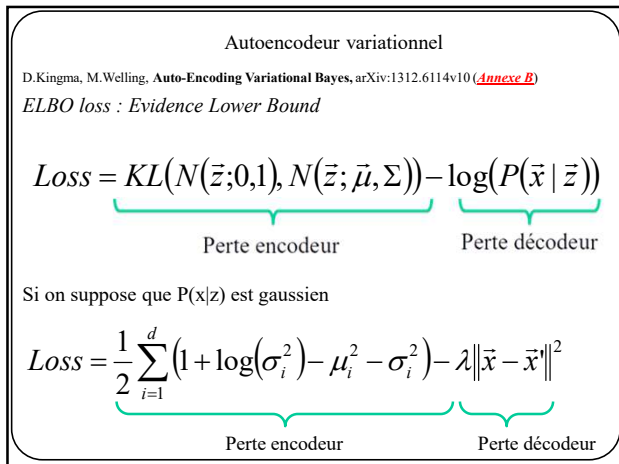
59



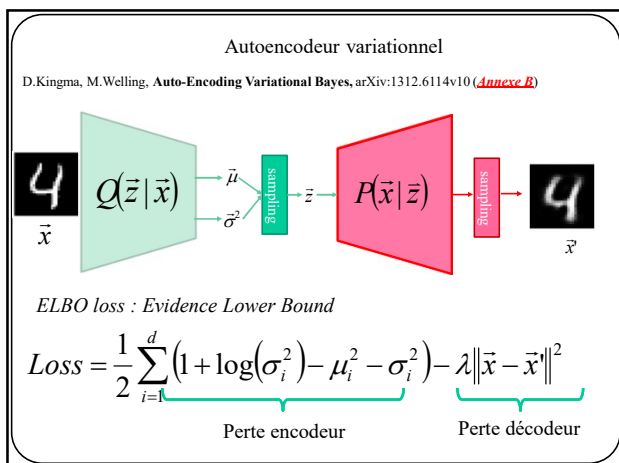
60



61



62



63

Autoencodeur variationnel

D.Kingma, M.Welling, **Auto-Encoding Variational Bayes**, arXiv:1312.6114v10 ([Annexe B](#))

Evidence Lower Bound

$$Loss = \underbrace{KL(N(z;0,1), N(z;\mu,\Sigma))}_{\text{Perte encodeur}} - \underbrace{\log(P(x|z))}_{\text{Perte d'écodateur}}$$

Only reconstruction loss

Only KL divergence

Combination

<https://www.jeremyjordan.me/variational-autoencoders/>

64

Autoencodeur variationnel

D.Kingma, M.Welling, **Auto-Encoding Variational Bayes**, arXiv:1312.6114v10 ([Annexe B](#))

ELBO loss : Evidence Lower Bound

Only reconstruction loss

Only KL divergence

Combination

<https://www.jeremyjordan.me/variational-autoencoders/>

Pas gaussien, difficile à échantillonner

Trop gaussien, tout est indistinguable

Ensemble de distributions séparées qui forment une gaussienne

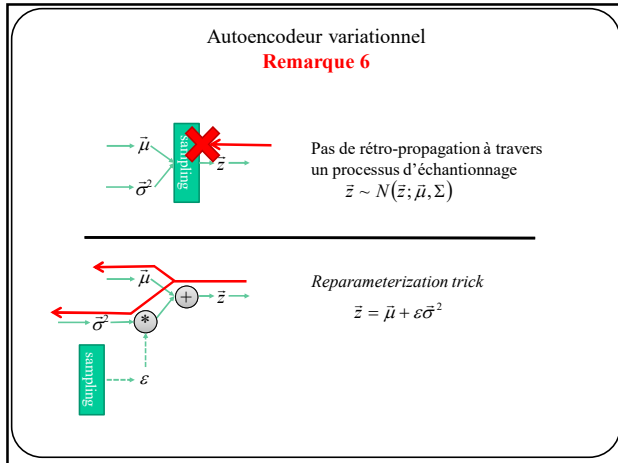
65

Autoencodeur variationnel

Remarque 6

Pas de rétro-propagation à travers un processus d'échantillonnage $\tilde{z} \sim N(\tilde{\mu}, \tilde{\Sigma})$

66



67

Autoencodeur variationnel jouet MNIST : d=32 dim

```
class VAE(nn.Module):
    def __init__(self):
        super(VAE, self).__init__()

        self.encoder = nn.Sequential(
            nn.Linear(28 * 28, 128), nn.ReLU(True),
            nn.Linear(128, 64), nn.ReLU(True),
            nn.Linear(64, 32*2)
        )
        self.decoder = nn.Sequential(
            nn.Linear(32, 64), nn.ReLU(True),
            nn.Linear(64, 128), nn.ReLU(True),
            nn.Linear(128, 28 * 28)
        )

    def reparameterize(self, mu, logvar):
        std = torch.exp(0.5*logvar)
        eps = torch.randn_like(std)
        return mu + eps*std

    def forward(self, x):
        enc_x = self.encoder(x)
        mu = enc_x[:, :32]
        logvar = enc_x[:, 32:]
        z = self.reparameterize(mu, logvar)
        return self.decoder(z), mu, logvar
```

Reparameterization trick

68

Autoencodeur variationnel jouet MNIST : d=32 dim

```
def loss_function(recon_x, x, mu, logvar):
    L2 = nn.MSELoss()(recon_x, x)

    KLD = -0.5 * torch.sum(1 + logvar - mu.pow(2) - logvar.exp())

    return KLD + self.lambda*L2
```

$$Loss = \underbrace{\frac{1}{2} \sum_{i=1}^d (1 + \log(\sigma_i^2) - \mu_i^2 - \sigma_i^2)}_{\text{KLD}} - \underbrace{\lambda \|\bar{x} - \bar{x}\|^2}_{\text{L2}}$$

69

Ex.: base de données *CelebA*

\vec{x} \vec{x}'

<https://github.com/ywxx/vae-celebA>

70

Ex.: base de données *CelebA*

Décodage d'échantillons aléatoires \vec{z}

<https://github.com/ywxx/vae-celebA>

71

Ex.: base de données *CelebA*

\vec{x} \vec{x}'

Images floues.
Pourquoi ?

<https://github.com/ywxx/vae-celebA>

72

Plusieurs tutoriels, VAE

- <https://ijdykeman.github.io/ml/2016/12/21/cvae.html>
- <https://wiseodd.github.io/techblog/2016/12/10/variational-autoencoder/>
- <https://towardsdatascience.com/deep-latent-variable-models-unravel-hidden-structures-a5df0fd32ae2>
- C. Doersch, **Tutorial on Variational Autoencoders**, arXiv:1606.05908

73

GAN

Generative Adversarial Nets

74

On voudrait générer des images \vec{x} en échantillonnant $P(\vec{x})$

=> **TROP DIFFICILE** car $P(\vec{x})$ trop complexe



75

Comme précédemment, pour simplifier le problème, on pourrait introduire une variable latente \vec{z} et ainsi modéliser

$$P(\vec{x}, \vec{z}) = P(\vec{x} | \vec{z}) P(\vec{z})$$

Modèle génératif

Distribution *a priori*

76

Comme pour les VAE, on utilisera une **distribution *a priori*** facile à échantillonner : une **gaussienne!**

$$P(\vec{z}) = N(\vec{z}; 0, 1)$$

77

Comment estimer $P(\vec{x} | \vec{z})$?

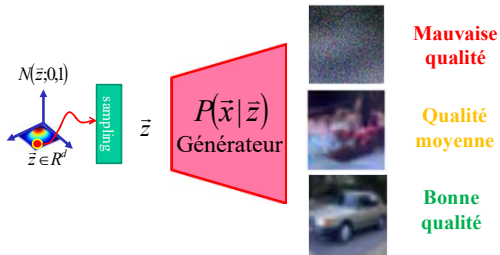
À l'aide d'un réseau de neurones car ce sont **d'excellentes machines pour estimer des probabilités conditionnelles**



78

VAE

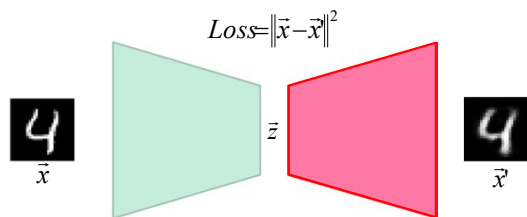
Dépendamment des performances du décodeur, les images générées
seront de qualité très variable.



79

Pour entraîner un décodeur, il faut une **fonction de perte (loss)** qui
mesure la qualité (degré de réalisme) des images produites

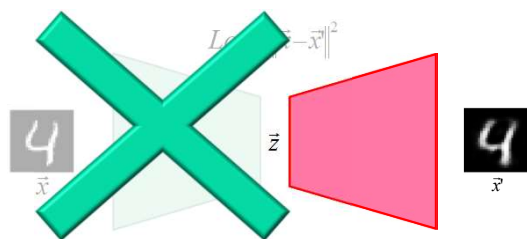
Pour un autoencodeur (variationnel ou non) c'est facile!
car on a un encodeur et une image de référence



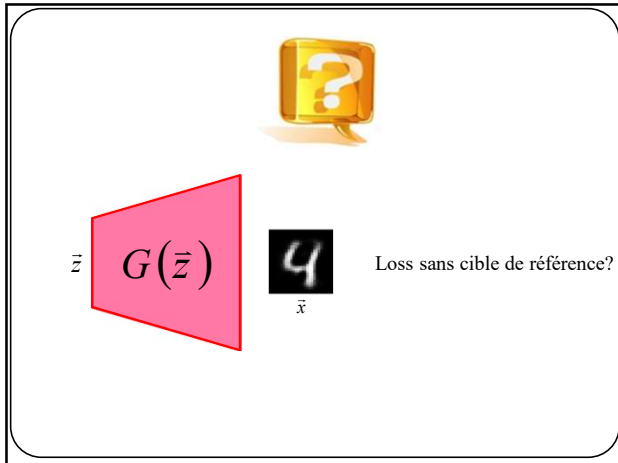
80

Pour entraîner un décodeur, il faut une **fonction de perte (loss)** qui
mesure la qualité (degré de réalisme) des images produites

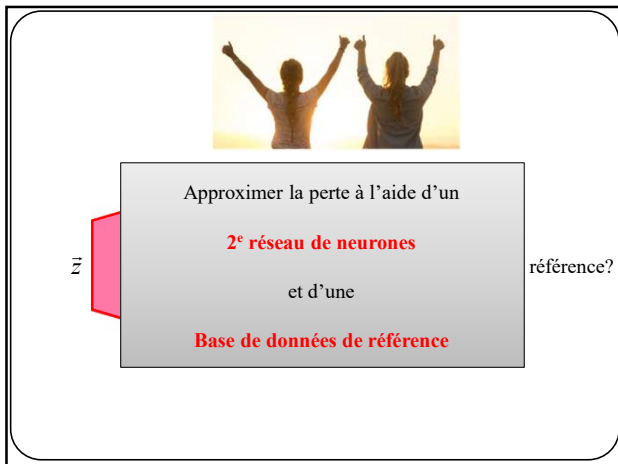
Comment faire pour un réseau **sans encodeur**?



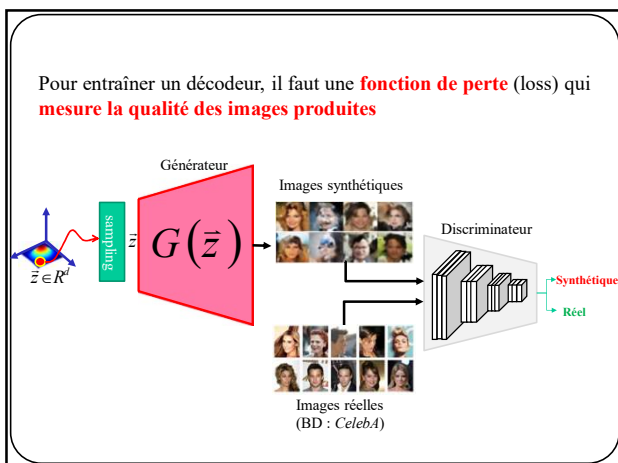
81



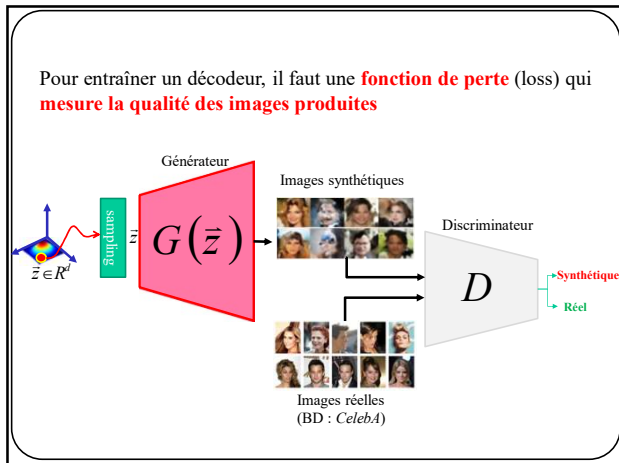
82



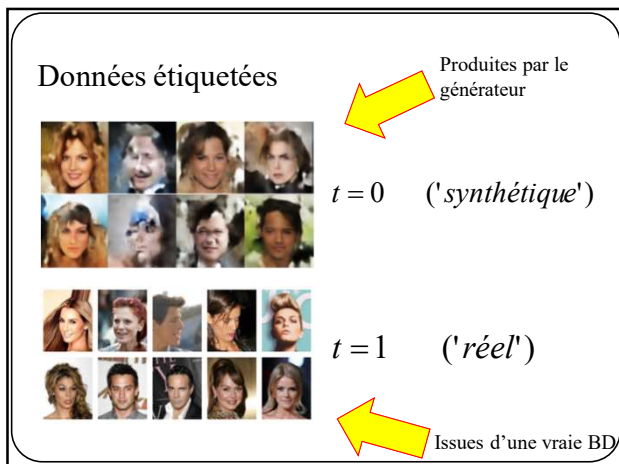
83



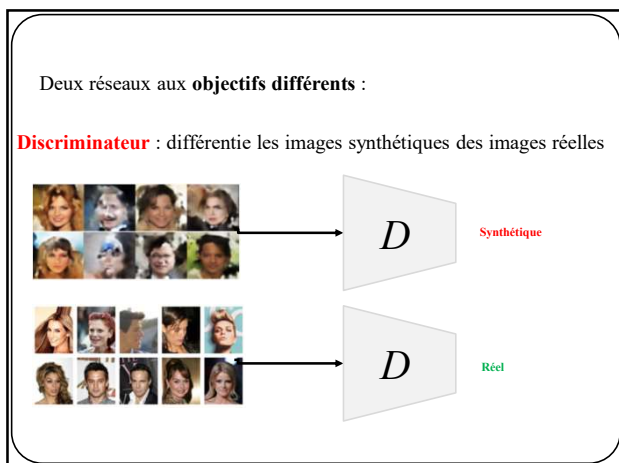
84



85



86



87

Discriminateur : classifieur binaire (régression logistique)

=> Perte l'entropie croisée

88

Rappel, entropie croisée pour une régression logistique binaire:

$$L_D = \frac{1}{N} \sum_i -t_i \ln(y(\vec{x}_i)) - (1 - t_i) \ln(1 - y(\vec{x}_i))$$

89

Le réseau discriminateur est représenté par la **lettre D**

$$L_D = \frac{1}{N} \sum_i -t_i \ln(D(\vec{x}_i)) - (1 - t_i) \ln(1 - D(\vec{x}_i))$$

90

Puisque les images **synthétiques** ont été générées par le **générateur**

$$L_D = \frac{1}{N} \sum_i -t_i \ln(D(\vec{x}_i)) - (1 - t_i) \ln(1 - D(G(\vec{z}_i)))$$

↑

91

Sans perte de généralité, séparer la loss des images réelles et synthétiques

$$L_D = \underbrace{-\frac{1}{N_{reel}} \sum_i \ln(D(\vec{x}_i))}_{\text{Perte images réelles}} - \underbrace{\frac{1}{N_{syn}} \sum_j \ln(1 - D(G(\vec{z}_j)))}_{\text{Perte images synthétiques}}$$

92

Rappel: Espérance mathématique et approximation Monte Carlo

$$IE[x] = \int xp(x)dx$$

$$IE[f(x)] = \int f(x)p(x)dx$$

93

Rappel: Espérance mathématique et approximation Monte Carlo

**approximation
Monte Carlo**

$$IE[x] = \int xp(x)dx$$

$$\approx \frac{1}{N} \sum_{i=1}^N x_i \quad \text{où } x_i \sim p(x)$$

$$IE[f(x)] = \int f(x)p(x)dx$$

$$\approx \frac{1}{N} \sum_{i=1}^N f(x_i) \quad \text{où } x_i \sim p(x)$$

94

Rappel: Espérance mathématique et estimateur Monte Carlo

$$L_D = - \underbrace{\frac{1}{N_{reel}} \sum_i \ln(D(\tilde{x}_i))}_{\text{Perte images réelles}} - \underbrace{\frac{1}{N_{syn}} \sum_j \ln(1 - D(G(\tilde{z}_j)))}_{\text{Perte images synthétiques}}$$

$$L_D = -IE_{\tilde{x} \sim P_{reel}} [\ln(D(\tilde{x}))] - IE_{\tilde{z} \sim P_z} [\ln(1 - D(G(\tilde{z})))]$$

(Loss de GAN dans la littérature)

95

Objectif du discriminateur

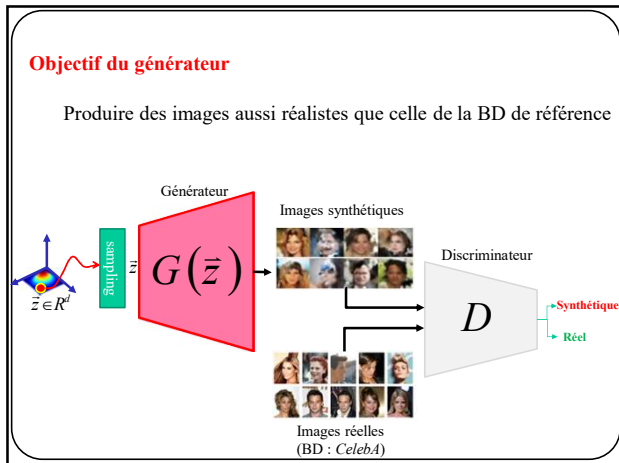
Paramètres du discriminateur

$$\hat{W}_D = \arg \min_{W_D} -IE_{\tilde{x} \sim P_{reel}} [\ln(D(\tilde{x}))] - IE_{\tilde{z} \sim P_z} [\ln(1 - D(G(\tilde{z})))]$$

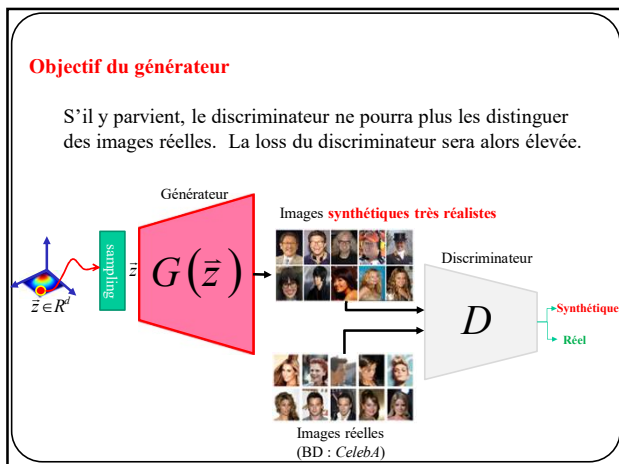
Ou encore, de façon équivalente (mult par -1)

$$W_D = \arg \max_{W_D} IE_{\tilde{x} \sim P_{reel}} [\ln(D(\tilde{x}))] + IE_{\tilde{z} \sim P_z} [\ln(1 - D(G(\tilde{z})))]$$

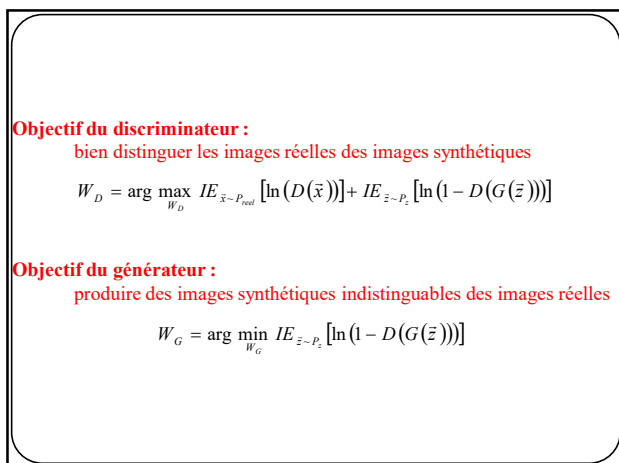
96



97



98



99

« Two player » min-max game

$$\min_G \max_D V(D, G) = \mathbb{E}_{\mathbf{x} \sim p_{\text{data}}(\mathbf{x})} [\log D(\mathbf{x})] + \mathbb{E}_{\mathbf{z} \sim p_z(\mathbf{z})} [\log(1 - D(G(\mathbf{z})))]$$

Ian Goodfellow et al., "Generative Adversarial Nets", NIPS 2014

100

« Two player » min-max game

Discriminateur veut
D(x) = 1 pour les vrais
données

Discriminateur veut
D(G(x)) = 0 pour les
données synthétiques

$$\min_G \max_D V(D, G) = \mathbb{E}_{\mathbf{x} \sim p_{\text{data}}(\mathbf{x})} [\log D(\mathbf{x})] + \mathbb{E}_{\mathbf{z} \sim p_z(\mathbf{z})} [\log(1 - D(G(\mathbf{z})))]$$

Générateur veut
D(G(x)) = 1 pour les
données synthétiques

Ian Goodfellow et al., "Generative Adversarial Nets", NIPS 2014

101

NOTE

dans les faits, on ne minimise pas cette loss

$$W_G = \arg \min_{W_G} \mathbb{E}_{\mathbf{z} \sim p_z} [\ln(1 - D(G(\mathbf{z})))]$$

on maximise plutôt celle-ci

$$W_G = \arg \max_{W_G} \mathbb{E}_{\mathbf{z} \sim p_z} [\ln(D(G(\mathbf{z})))]$$

102

for number of training iterations do

for k steps do

- Sample minibatch of m noise samples $\{z^{(1)}, \dots, z^{(m)}\}$ from noise prior $p_z(z)$.
- Sample minibatch of m examples $\{x^{(1)}, \dots, x^{(m)}\}$ from data generating distribution $p_{\text{data}}(x)$.
- Update the discriminator by ascending its stochastic gradient:

$$\nabla_{\theta_d} \frac{1}{m} \sum_{i=1}^m [\log D_{\theta_d}(x^{(i)}) + \log(1 - D_{\theta_d}(G_{\theta_g}(z^{(i)})))]$$

end for

- Sample minibatch of m noise samples $\{z^{(1)}, \dots, z^{(m)}\}$ from noise prior $p_z(z)$.
- Update the generator by ascending its stochastic gradient (improved objective):

$$\nabla_{\theta_g} \frac{1}{m} \sum_{i=1}^m \log(D_{\theta_d}(G_{\theta_g}(z^{(i)})))$$

end for

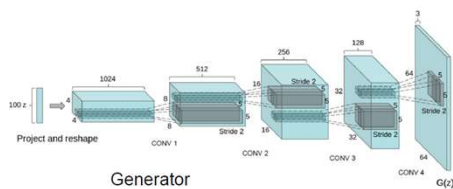
103



Figure 2: Visualization of samples from the model. Rightmost column shows the nearest training example of the neighboring sample, in order to demonstrate that the model has not memorized the training set. Samples are fair random draws, not cherry-picked. Unlike most other visualizations of deep generative models, these images show actual samples from the model distributions, not conditional means given samples of hidden units. Moreover, these samples are uncorrelated because the sampling process does not depend on Markov chain mixing. a) MNIST b) LFW c) CIFAR-10 (fully connected model) d) CIFAR-100 (convolutional discriminator and "deconvolutional" generator)

104

Deep Convolution Generative Adversarial Net (DCGAN)



Radford et al., "Unsupervised Representation Learning with Deep Convolutional Generative Adversarial Networks", ICLR 2016

105

Deep Convolution Generative Adversarial Net (DCGAN)

Recommandations discriminateur

- Conv stride>1 au lieu des couches de pooling
- ReLU partout sauf en sortie : tanh

Recommandations générateur

- Conv transpose au lieu de upsampling
- LeakyReLU partout

Autre recommandations

- BatchNorm partout
- Pas de FC, juste des conv

Radford et al, "Unsupervised Representation Learning with Deep Convolutional Generative Adversarial Networks", ICLR 2016

106

Deep Convolution Generative Adversarial Net (DCGAN)

Recommandations discriminateur

-
-

Recommandations générateur

-
-

Autre recommandations

- BatchNorm partout
- Pas de FC, juste des conv

Radford et al, "Unsupervised Representation Learning with Deep Convolutional Generative Adversarial Networks", ICLR 2016

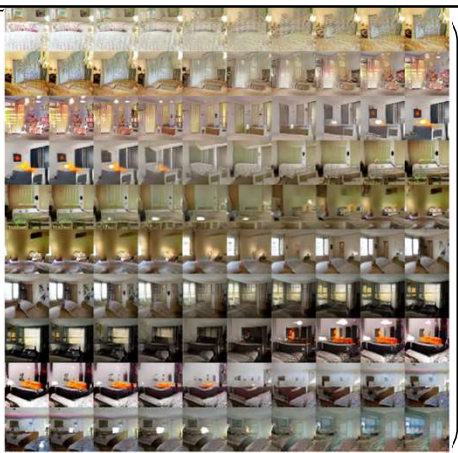
107

Deep Convolution Generative Adversarial Net (DCGAN)



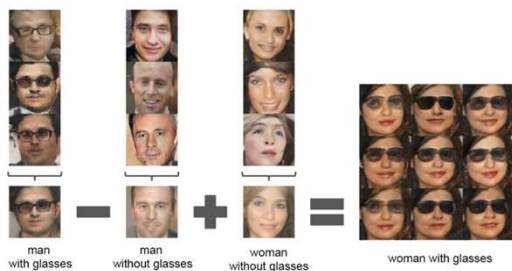
108

Interpolation
entre 9 vecteurs
latents aléatoires



109

“Vector arithmetic for visual concepts”



110

Problèmes d’instabilité

- Si discriminateur et générateur et n'apprennent pas ensemble:
 - disparition des gradients
 - effondrement des modes
 - on ne peut générer d'images à haute résolution
- Plusieurs solutions proposées:
 - *Wasserstein GAN* (utilise “earth mover distance”)
 - *Least Squares GAN* (utilise distance d'erreur quadratique)
 - *Progressive GAN*
 -

111

111

Problèmes d'instabilité

- Si discriminateur et générateur et n'apprennent pas ensemble:
 - **disparition des gradients**
 - effondrement des modes
 - on ne peut générer d'images à haute résolution

Si le discriminateur apprend trop vite, le générateur sera systématiquement battu, et n'apprendra rien

112

112

Problèmes d'instabilité

- Si discriminateur et générateur et n'apprennent pas ensemble:
 - disparition des gradients
 - **effondrement des modes**
 - on ne peut générer d'images à haute résolution

Le générateur peut apprendre à toujours générer la même image et ainsi battre le discriminateur

113

113

Problèmes d'instabilité

- Si discriminateur et générateur et n'apprennent pas ensemble:
 -
 -
 -



<https://datascience.stackexchange.com/questions/29485/gan-discriminator-converging-to-one-output>

114

114

Problèmes d'instabilité

- Si discriminateur et générateur et n'apprennent pas ensemble:
 - disparition des gradients
 - effondrement des modes
 - on ne peut générer d'images à haute résolution

Solution: les progressive GANs

115

115

progressive GAN

On veut générer des images à **haute résolution**

On commence avec des images de **faible résolution : 4x4 pixels**

"Progressive GAN" Karras et al. ICLR'18

116

progressive GAN

Et progressivement, on augmente la résolution de l'image

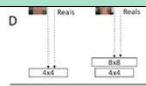
"Progressive GAN" Karras et al. ICLR'18

117

progressive GAN

Et progressivement on augmente la résolution de l'image

"Progressive Growing GAN requires that the capacity of both the generator and discriminator model be expanded by adding layers during the training process"

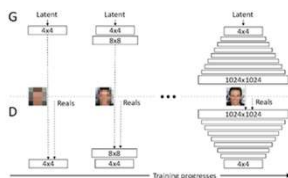


"Progressive GAN" Karras et al. ICLR'18

118

progressive GAN

Et progressivement, chaque couche qu'on ajoute vient bonifier la couche précédente : cela se fait à l'aide d'une **opération « résiduelle »**.



"Progressive GAN" Karras et al. ICLR'18

119

Ajout de couches

Lorsque l'**entraînement** d'une couche de résolution RxR (ici 16x16) est **terminé**...

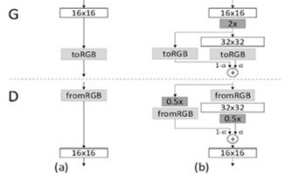


"Progressive GAN" Karras et al. ICLR'18

120

Ajout de couches

... On **ajoute une nouvelle couche** de résolution 2Rx2D (ici 32x32) au générateur ET au discriminateur.

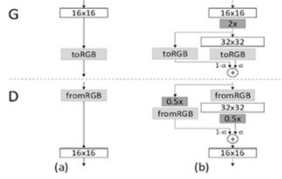


"Progressive GAN" Karras et al. ICLR'18

121

Ajout de couches

... mais pour éviter un choc, on ajoute une **composante résiduelle** comprenant un facteur α
Au début de l'entraînement, $\alpha=0$ et progressivement α augmente pour atteindre $\alpha=1$ à la fin

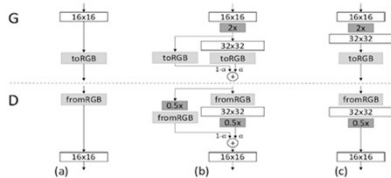


"Progressive GAN" Karras et al. ICLR'18

122

Ajout de couches

Lorsque l'entraînement est terminé, on enlève la composante résiduelle.



"Progressive GAN" Karras et al. ICLR'18

123

“Progressive GAN” Karras et al. ICLR’18

Generator	Act.	Output shape	Params
Latent vector	—	$512 \times 1 \times 1$	—
Conv 4×4	LReLU	$512 \times 4 \times 4$	4.2M
Conv 3×3	LReLU	$512 \times 4 \times 4$	2.4M
Upsample	—	$512 \times 8 \times 8$	—
Conv 3×3	LReLU	$512 \times 8 \times 8$	2.4M
Conv 3×3	LReLU	$512 \times 8 \times 8$	2.4M
Upsample	—	$512 \times 16 \times 16$	—
Conv 3×3	LReLU	$512 \times 16 \times 16$	2.4M
Conv 3×3	LReLU	$512 \times 16 \times 16$	2.4M
Upsample	—	$512 \times 32 \times 32$	—
Conv 3×3	LReLU	$512 \times 32 \times 32$	2.4M
Conv 3×3	LReLU	$512 \times 32 \times 32$	2.4M
Upsample	—	$512 \times 64 \times 64$	—
Conv 3×3	LReLU	$256 \times 64 \times 64$	1.2M
Conv 3×3	LReLU	$256 \times 64 \times 64$	590k
Upsample	—	$256 \times 128 \times 128$	—
Conv 3×3	LReLU	$128 \times 128 \times 128$	295k
Conv 3×3	LReLU	$128 \times 128 \times 128$	148k
Upsample	—	$128 \times 256 \times 256$	—
Conv 3×3	LReLU	$64 \times 256 \times 256$	74k
Conv 3×3	LReLU	$64 \times 256 \times 256$	37k
Upsample	—	$64 \times 512 \times 512$	—
Conv 3×3	LReLU	$32 \times 512 \times 512$	18k
Conv 3×3	LReLU	$32 \times 512 \times 512$	9.2k
Upsample	—	$32 \times 1024 \times 1024$	—
Conv 3×3	LReLU	$16 \times 1024 \times 1024$	2.3k
Conv 1×1	linear	$3 \times 1024 \times 1024$	51
Total trainable parameters			23.1M

Discriminator	Act.	Output shape	Params
Input image	—	$3 \times 1024 \times 1024$	—
Conv 1×1	LReLU	$16 \times 1024 \times 1024$	64
Conv 3×3	LReLU	$16 \times 1024 \times 1024$	2.3k
Conv 3×3	LReLU	$32 \times 1024 \times 1024$	4.6k
Downsample	—	$32 \times 512 \times 512$	—
Conv 3×3	LReLU	$32 \times 512 \times 512$	9.2k
Conv 3×3	LReLU	$64 \times 512 \times 512$	18k
Downsample	—	$64 \times 256 \times 256$	—
Conv 3×3	LReLU	$64 \times 256 \times 256$	37k
Conv 3×3	LReLU	$128 \times 256 \times 256$	74k
Downsample	—	$128 \times 128 \times 128$	—
Conv 3×3	LReLU	$128 \times 128 \times 128$	148k
Conv 3×3	LReLU	$256 \times 128 \times 128$	295k
Downsample	—	$256 \times 64 \times 64$	—
Conv 3×3	LReLU	$256 \times 64 \times 64$	590k
Conv 3×3	LReLU	$512 \times 64 \times 64$	1.2M
Downsample	—	$512 \times 32 \times 32$	—
Conv 3×3	LReLU	$512 \times 32 \times 32$	2.4M
Conv 3×3	LReLU	$512 \times 32 \times 32$	2.4M
Downsample	—	$512 \times 16 \times 16$	—
Conv 3×3	LReLU	$512 \times 16 \times 16$	2.4M
Conv 3×3	LReLU	$512 \times 16 \times 16$	2.4M
Downsample	—	$512 \times 8 \times 8$	—
Conv 3×3	LReLU	$512 \times 8 \times 8$	2.4M
Conv 3×3	LReLU	$512 \times 8 \times 8$	2.4M
Downsample	—	$512 \times 4 \times 4$	—
Minibatch stddev	—	$512 \times 4 \times 4$	—
Conv 3×3	LReLU	$512 \times 4 \times 4$	2.4M
Conv 4×4	LReLU	$512 \times 1 \times 1$	4.2M
Fully-connected	linear	$1 \times 1 \times 1$	513
Total trainable parameters			23.1M

Table 2: Generator and discriminator that we use with CELEBA-HQ to generate 1024×1024 images.

124

“Progressive GAN” Karras et al. ICLR’18

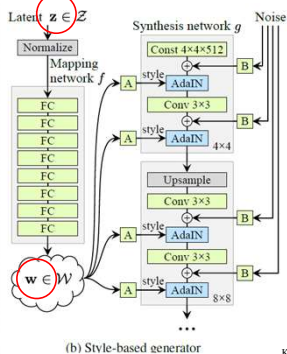


<https://youtu.be/XOxxPcy5Gr4>

125

125

Style GAN

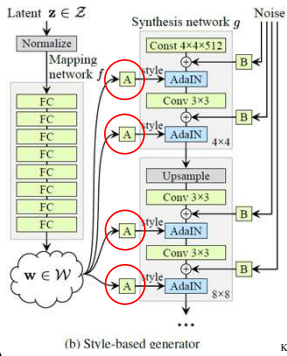


Le Générateur reçoit une version modifiée “w” par 8 couches FC du vecteur latent “z”

Karras et al. A Style-Based Generator Architecture for Generative Adversarial Networks, CVPR 2019

126

Style GAN



Le Générateur reçoit une version modifiée “w” par 8 couches FC du vecteur latent “z”

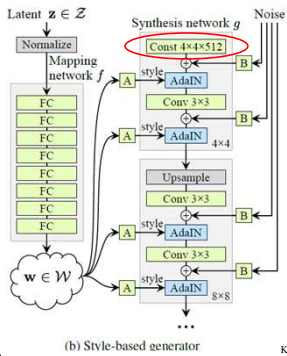
Et ce, à **chaque couche** du réseau

(b) Style-based generator

Karas et al. A Style-Based Generator Architecture for Generative Adversarial Networks, CVPR 2019

127

Style GAN



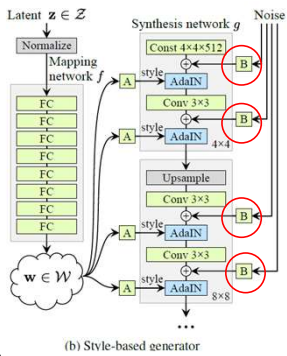
L'entrée du réseau est un **tenseur constant** appris par entraînement

(b) Style-based generator

Karas et al. A Style-Based Generator Architecture for Generative Adversarial Networks, CVPR 2019

128

Style GAN

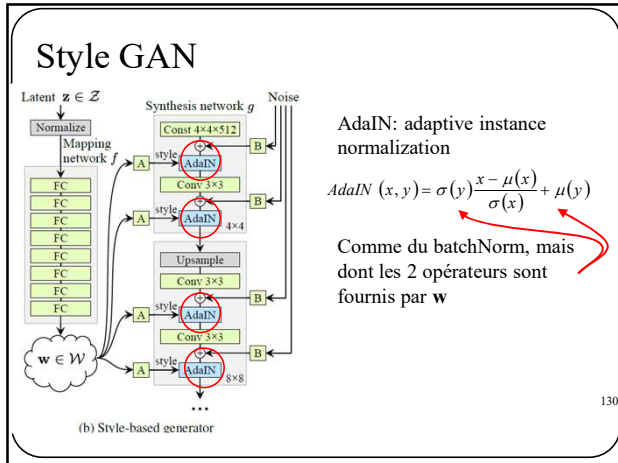


Du **bruit** est multiplié à chaque
carte d'activation de **chaque**
couche du réseau

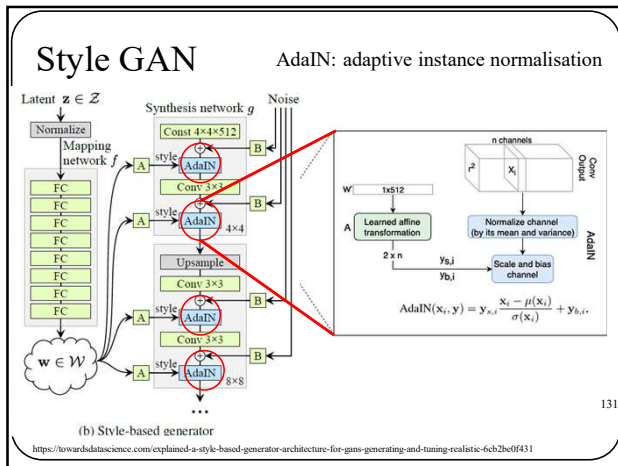
(b) Style-based generator

129

129



130



131



132

Style GAN

Entraînement progressif comme pour **progressive GAN**

133

Style GAN



134

Défi avec les GAN

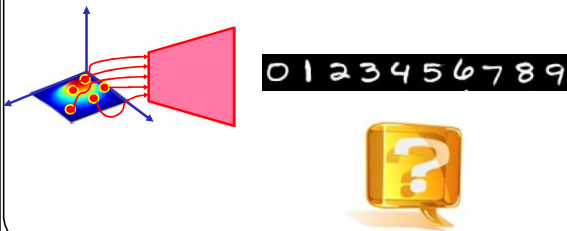
Soit un GAN entraîné sur MNIST, si je décode **10 vecteurs latents pris au hasard**, j'aurai les images de **10 caractères aléatoires**.



135

Défi avec les GAN

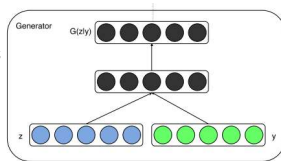
Question: comment générer des images de catégories prédéterminées? Ex. comment sélectionner 10 vecteurs latents qui produiront la séquence : 0,1,2,3,4,5,6,7,8,9?



136

Gan conditionnel

L'idée est d'encoder un vecteur latent z ainsi qu'un **vecteur de classe** « one-hot » \bar{y}

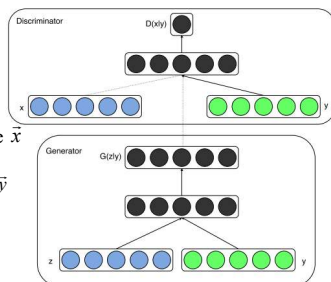


Mirza, Mehdi & Osindero, Simon. (2014). Conditional Generative Adversarial Nets. arXiv:1411.1784v1

137

Gan conditionnel

Et de discriminer une image \tilde{x} avec **le même** « one-hot » \bar{y}



Mirza, Mehdi & Osindero, Simon. (2014). Conditional Generative Adversarial Nets. arXiv:1411.1784v1

138

Gan conditionnel

GAN de base

$$\min_G \max_D V(D, G) = \mathbb{E}_{x \sim p_{\text{data}}(x)} [\log D(x)] + \mathbb{E}_{z \sim p_z(z)} [\log(1 - D(G(z)))].$$

GAN conditionnel

$$\min_G \max_D V(D, G) = \mathbb{E}_{x \sim p_{\text{data}}(x)} [\log D(x|y)] + \mathbb{E}_{z \sim p_z(z)} [\log(1 - D(G(z|y)))].$$

Mirza, Mehdi & Osindero, Simon. (2014). Conditional Generative Adversarial Nets. arXiv:1411.1784v1

139

Version convolutionnelle

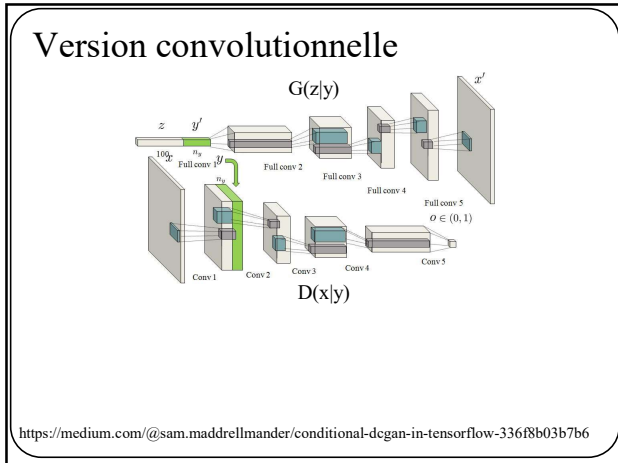
<https://medium.com/@sam.maddrellmander/conditional-dcgan-in-tensorflow-336f8b03b7b6>

140

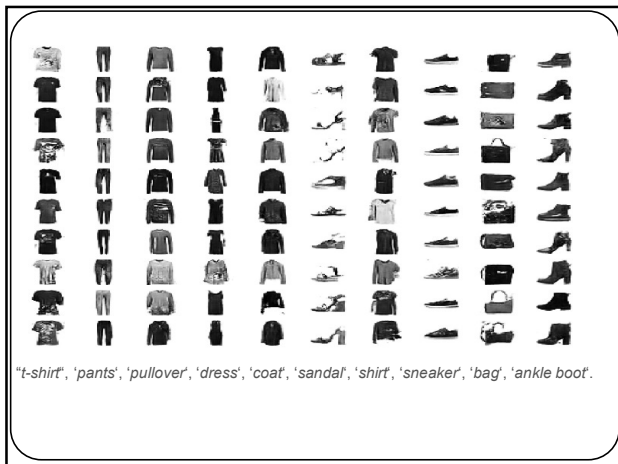
Version convolutionnelle

<https://medium.com/@sam.maddrellmander/conditional-dcgan-in-tensorflow-336f8b03b7b6>

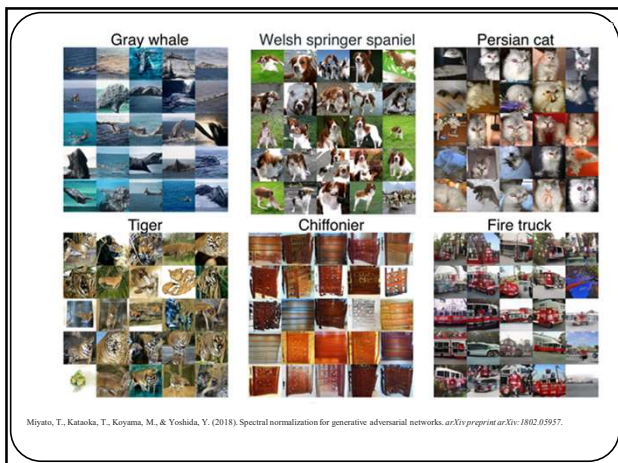
141



142



143



144

Code pytorch pour plus de 30 modèles de GANs

<https://github.com/eriklindernoren/PyTorch-GAN>

145

Belle vidéo sur les GANs montrant comment on peut manipuler l'espace latent et comment certains les utilise pour produire des « *deep fake* »

<https://www.youtube.com/watch?v=dCKbRCUyop8>

146

Réseaux de diffusion

(DALL-E, Midjourney, ChatGPT, Copilot, etc.)

GAN: Adversarial training

```
graph LR; z[z] --> G[Generator G(z)]; G --> xp[x']; x[x] --> D[Discriminator D(x)]; xp --> D; D --> out((0/1))
```

VAE: maximize variational lower bound

```
graph LR; x[x] --> E[Encoder q_phi(z|x)]; E --> z[z]; z --> D[Decoder p_theta(x|z)]; D --> xp[x']
```

Diffusion models:
Gradually add Gaussian noise and then reverse

```
graph LR; x0[x0] --> x1[x1]; x1 --> x2[x2]; x2 --> dots[...]; dots --> z[z]; z --> dots; dots --> x1; x1 --> x0
```

<https://pub.towardsai.net/diffusion-models-vs-gans-vs-vaes-comparison-of-deep-generative-models-67ab93e0d9ae>

147

Réseaux de diffusion

(DALL-E, Midjourney, ChatGPT, Copilot, etc.)

Des réseaux qui apprennent à retirer itérativement du bruit dans une image.

Forward SDE (data \rightarrow noise)

$$dx = f(x, t)dt + g(t)d\mathbf{w} \quad \mathbf{x}(0) \rightarrow \mathbf{x}(T)$$

Reverse SDE (noise \rightarrow data)

$$dx = [f(x, t) - g^2(t)\nabla_x \log p_t(\mathbf{x})]dt + g(t)d\tilde{\mathbf{w}} \quad \mathbf{x}(T) \rightarrow \mathbf{x}(0)$$

score function

<https://encord.com/blog/diffusion-models/>

148

Réseau de diffusion conditionné

Rombach et al. **High-Resolution Image Synthesis with Latent Diffusion Models**, in proc of CVPR 2021

149

Réseau de diffusion conditionné à du texte

"An oil painting of a latent space."

"An epic painting of Gandalf the Black summoning thunder and lightning to the mountains."

"A sunset over a mountain range, vector image"

150



Open AI's DALL-E3
